

УДК 530.12:530.51

## **ИЗЛУЧЕНИЕ ЭЛЕКТРОМАГНИТНЫХ ВОЛН СВЕРХСВЕТОВЫМИ ИСТОЧНИКАМИ**

**С. В. Афанасьев**

Тверской государственный университет  
*кафедра общей физики*

Предлагаются теоретические расчёты и некоторые экспериментальные данные по исследованию когерентного излучения электромагнитных волн различными моделями сверхсветовых источников типа электронного, светового зайчика или заряженной нити, падающей на границу раздела двух сред.

**Ключевые слова:** сверхсветовые источники, черенковское излучение, синхротронное излучение, диэлектрический волновод

### **ELECTROMAGNETIC WAVE EMISSION BY FASTER-THAN-LIGHT SOURCES**

**S. V. Afanasiev**

Tver State University  
*Chair of General Physics*

Theoretical calculations and some experimental results on the study of coherent electromagnetic wave emission in different models of faster-than-light models of electronic, light spot or charged filament types falling on the boundary between two media.

**Keywords:** faster-than-light sources, Cherenkov radiation, synchrotron radiation, dielectric waveguide

Начиная с первых работ [1; 2] по настоящее время вопросы теории излучения сверхсветовых источников (ССИ) вызывают значительный интерес как у теоретиков, так и у экспериментаторов. Об этом свидетельствуют обзоры, периодически выходящие в центральных научных журналах [3-6]. В дополнение к указанным работам в настоящей статье даётся краткий обзор исследований по данной тематике, выполненных на кафедрах теоретической и общей физики ТвГУ.

**1. Когерентное переходное излучение.** Применение электромагнитного излучения широкого диапазона частот в физике твёрдого тела, ядерной физике и других областях возможно при наличии мощных, узконаправленных источников. Ранее рассматривались модели ССИ, в которых предполагали постоянными значения параметров излучающей системы, таких, как скорость

электронов в пучке, скорость сканирования. В [7] исследовалось влияние скачкообразного изменения скорости сканирования электронного пучка на характеристики излучения. Было показано, что при малых изменениях скорости сканирования луча полные потери в основном определяются черенковским излучением.

В [8] отмечалось, что переходное излучение возникает также и при изменении во времени электрических или магнитных свойств среды. Ниже [9] рассчитываются характеристики излучения ССИ типа падающей на границу раздела двух сред заряженной нити.

Ток частиц заряда  $q$ , имеющих скорость  $\mathbf{v} = \{0, 0, v\}$  может быть задан в виде

$$\mathbf{j}(r, t) = q\mathbf{v}\delta(y) \int_{-\infty}^{\infty} d\alpha \cdot \delta(x - \alpha) \cdot \delta(z - \alpha \cdot \operatorname{tg}\psi - vt), \quad (1)$$

где  $\psi$  – угол наклона фронта частиц к границе раздела двух сред с  $\epsilon_{1,2}$  и  $\mu_{1,2}$ , соответственно.

В определённой спектральной области [1] расчёт можно проводить для скачкообразного изменения свойств сред, то есть считать  $\epsilon_{1,2}^{(1)}, \mu_{1,2}^{(1)}$  и  $\epsilon_{1,2}^{(2)}, \mu_{1,2}^{(2)}$  постоянными для  $t < 0$  и  $t > 0$  соответственно, считая, что их изменение происходит в момент  $t = 0$ .

В итоге получим для энергии излучения в единицу времени, например, для  $W^{**}$  во второй среде, при изменении свойств этой среды, следующее выражение:

$$\begin{aligned} \frac{dW^{**}}{dt} = & \frac{q^2}{4\pi} \int \frac{d\omega}{\omega} \frac{v_* v^2 (\epsilon_2^{(1)} \mu_2^{(1)})^2 \left( \epsilon_2^{(1)} \sqrt{\frac{\mu_2^{(2)}}{\epsilon_2^{(2)}}} - \sqrt{\epsilon_2^{(1)} \mu_2^{(1)}} \right)^2}{c^3 \mu_2^{(2)} \left| \frac{v_*^2}{c^2} \epsilon_2^{(1)} \mu_2^{(1)} - 2 \right|} \times \\ & \times \left[ \frac{1}{\epsilon_1^{(1)} \sqrt{\epsilon_2^{(1)} \mu_2^{(1)} - \frac{c^2}{v_*^2}}} + \epsilon_2^{(1)} \sqrt{\epsilon_1 \mu_1 - \frac{c^2}{v_*^2}} \left( \frac{1 + \frac{v}{c} \sqrt{\epsilon_1 \mu_1 - \frac{c^2}{v_*^2}}}{1 - \frac{v^2}{c^2} \epsilon_1 \mu_1 + \frac{c^2}{v_*^2}} - \frac{\frac{\epsilon_1}{\epsilon_2^{(1)}} + \frac{v}{c} \sqrt{\epsilon_1 \mu_1 - \frac{c^2}{v_*^2}}}{1 - \frac{v^2}{c^2} \epsilon_2^{(1)} \mu_2^{(1)} + \frac{c^2}{v_*^2}} \right) \right]^2 \end{aligned} \quad (2)$$

Аналогичные выражения могут быть получены для любой среды при скачкообразном изменении её свойств. Анализ соответствующих выражений показывает, что  $W^{**}$  может превышать интенсивность черенковского излучения при соответствующих параметрах сред и скачка.

## 2. Синхротронное излучение сверхсветового источника.

**Ондулятор.** Уникальные свойства синхротронного излучения и разнообразные применения его в науке и технике [10] побудили ряд исследователей [11; 12] рассмотреть аналогичное излучение ССИ. Нами рассматривается иная модель ССИ, дающего излучение, аналогичное [11; 12]. Такая модель источника создаётся следующим образом: узкий пучок заряженных частиц под действием отклоняющего устройства вычерчивает по поверхности экрана окружность некоторого радиуса. Если  $\psi$  – угол наклона фронта частиц к поверхности экрана в точке касания, то скорость пятна ("зайчика") равна

$$v_* = v \operatorname{ctg} \psi, \quad (3)$$

где  $v$  – скорость частиц. Из (3), в свою очередь, следует, что при уменьшении угла наклона  $\psi$  (что можно сделать, меняя параметры установки) скорость источника может принимать любые значения, также и больше  $c$ . При пересечении частицами поверхности экрана возникает переходное излучение, тогда вследствие интерференции волн возможно возникновение излучения, аналогичного по свойствам синхротронному. Энергия излучения на гармонике номера  $n$  собственной частоты  $\omega_0$  принимает значение

$$W_n = \frac{4q^2\beta^2\omega_0^2}{c} \frac{\sin^3 \theta}{(1 - \beta^2 \cos^2 \theta)^2} J_n^2(n\beta_* \sin \theta) d\theta, \quad (4)$$

где  $\beta_* = \frac{v_*}{c}$ .

Используя формулу Шотта для рядов Каптейна, нам удалось просуммировать члены в (4) и получить выражение, определяющее зависимость интенсивности излучения от угла  $\theta$ .

$$W_o = \frac{2g^2\beta^2\omega_0^2}{c} \frac{\sin^3 \theta}{(1 - \beta^2 \cos^2 \theta)^2} \left( \frac{1}{\sqrt{1 - \beta_*^2 \sin^2 \theta}} - 1 \right). \quad (5)$$

Таким образом, для  $\beta_* \ll 1$  распределение интенсивности по углам  $\theta$  в основном определяется множителем  $\sin^3 \theta (1 - \beta^2 \cos^2 \theta)^{-2}$ . Но этот множитель дает характерное для переходного излучения распределение интенсивности (см. [8]). При  $\beta, \beta_* \ll 1$  максимум интенсивности лежит вблизи плоскости экрана ( $\phi \sim \pi/2$ ). Если  $\beta \sim 1$ , то максимум смещается в малые углы  $\theta$ . Интересен случай  $\beta_* > 1$ . Здесь мы наблюдаем сочетание синхротронного излучения сверхсветового источника с

черенковским, характеризуемым направленностью излучения согласно выражению

$$\cos\left(\frac{\pi}{2} - \theta\right) = \frac{1}{\beta_*}, \quad \beta_* > 1. \quad (6)$$

Для анализа спектральных характеристик необходимо было воспользоваться асимптотиками функций Бесселя большого индекса, полученными А.А. Соколовым и другими [14] при создании теории синхротронного излучения. Было показано, что при  $\beta_* > 1$  максимум интенсивности приходится на критическую частоту

$$\omega_c = \frac{3}{2} \frac{c}{a} \beta_* [2(\beta_* - 1)]^{-3/2}.$$

Аналогично решалась задача о модели ССИ в ондуляторе – линейном ускорителе с синусоидальной траекторией движения заряженных частиц [15]. Были найдены спектральные и угловые характеристики СС черенковского, нормального и аномального эффектов Доплера, излучений.

**3. Плоский диэлектрический слой.** В [2] отмечалось, что большое число интересных задач об изучении сверхсветовых источников возникает в направляющих системах или волноводах. Особо отметим диэлектрические волноводы, обладающие определенной избирательностью, так как в них распространяется конечное число типов волн [17].

Ниже получено решение задачи о возбуждении диэлектрического слоя толщины  $h$  потоком заряженных частиц, расположенных в пространстве вдоль прямой линии, перемещающиеся со скоростью  $v = \{-v, 0, 0\}$  и создающей ток [18].

$$j(r, t) = gv\delta(y) \int_{-\infty}^{+\infty} da \delta(z - a) \delta(x - \alpha \operatorname{tg}\gamma + vt) \quad (7)$$

где  $g$  – заряд на единицу длины заряженной нити. Взаимное расположение заряженной нити и диэлектрического слоя показано на рис. 1.

Было показано, что диэлектрический слой будет служить волноводом для мод, у которых  $\chi_1^2 > 0$  и  $\chi_2^2 > 0$ , что возможно при

$$1/\sqrt{\epsilon} < \beta_* < 1, \quad (8)$$

$$\beta_* = v_* / c.$$

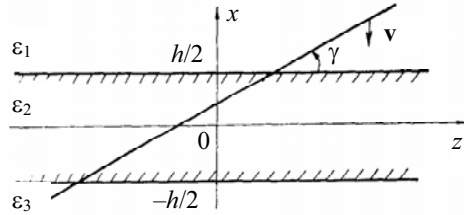


Рис. 1. Заряженная нить и диэлектрический слой

Если учесть, что  $v_*$  есть скорость сканирования вдоль оси волновода области пересечения зарядами слоя и в то же время фазовая скорость распространяющихся волн в слое, то условие (8) при любой скорости частиц  $v$  может быть выполнено соответствующим выбором параметра  $\gamma$  (угла наклона фронта частиц к поверхности диэлектрического слоя). Конечное число возможных мод или постоянных распространения  $\omega/v_*$  определяется из условия  $\Delta=0$ . Интересным представляется случай, когда при заданных  $\omega$ ,  $\epsilon$  и  $h$  имеется единственное решение для  $\beta_*$  уравнения

$$\operatorname{tg} h \frac{\omega}{c} \frac{\sqrt{\epsilon \beta_*^2 - 1}}{\beta_*} = \frac{2\sqrt{(1-\beta_*^2)(\epsilon \beta_*^2 - 1)}}{\beta_*^2(\epsilon + 1) - 1/\epsilon + \epsilon}, \quad (9)$$

что соответствует работе волновода в одномодовом режиме. Возможные значения указанных параметров при  $\beta_*$ , определяемом (8), находятся из условия  $h(\omega/c)\sqrt{\epsilon - 1} \leq \pi$ . Уравнение (9) может быть решено численно (см. рис. 2, где кривые 1 и 2 соответствуют функциям в правой и левой частях уравнения (9)).

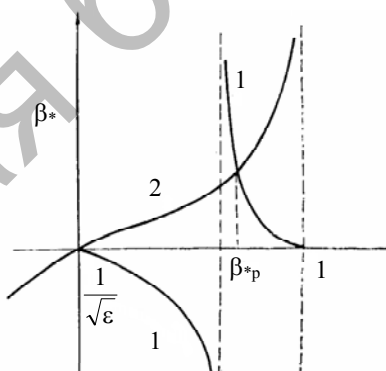


Рис. 2. Численное решение уравнения (9)

Остановимся теперь на механизмах возникновения излучения в диэлектрическом волноводе. Ими является переходное излучение [8] и черенковское, которое возможно при выполнении условия  $v > c/\sqrt{\epsilon}$ . Однако это условие для возбуждения рабочей моды за счет черенковского излучения не является достаточным: необходимо еще выполнение условия  $\chi_2 = \omega/v$ , при котором черенковская волна испытывает полное внутреннее отражение.

Потери энергии нити на создание бегущей моды имеют вид

$$W = i \frac{8q^2 v^2}{v_*} \int_{-\infty}^{+\infty} \left( \frac{\omega^2}{c^2} - \frac{\chi_2^2}{\epsilon} \right) \frac{B \sin(h/2)(\chi_2 + \omega/v)}{\chi_2 + \omega/v} d\omega. \quad (10)$$

При условии  $\chi_2 = \omega/v$  (фактически задано соотношение  $\beta = \beta_* / \sqrt{\epsilon \beta_*^2 - 1}$ ) интеграл имеет более простой вид

$$\begin{aligned} \frac{dW}{dt} = & i 4 q^2 \beta^3 \sqrt{\omega \beta^2 - 1} \int_{-\infty}^{+\infty} \left( 1 - \frac{1}{\epsilon \beta^2} \right) \left\{ \frac{\eta}{4} \left[ \beta^2 (\epsilon - 1) - 1 + \frac{1}{\epsilon^2} \right] - \right. \\ & \left. - \frac{1}{\epsilon} \left( \frac{1}{\beta^2} - \frac{1}{2} \right) \sqrt{\beta^2 (\epsilon - 1) - 1} \right\} \left[ \frac{1}{\epsilon^2} - \beta^2 (\epsilon - 1) + 1 - \frac{2}{\epsilon} \sqrt{\beta^2 (\epsilon - 1) - 1} \operatorname{ctg} \eta \right]^{-1} \frac{d\eta}{\eta} \end{aligned} \quad (11)$$

и сводится к сумме вычетов в точках

$$\eta_m = \operatorname{arcctg} \frac{1/\epsilon^2 - \beta^2(\epsilon - 1) + 1}{2/\epsilon \sqrt{\beta^2(\epsilon - 1) - 1}} + m\pi, m = 0, 1, 2, \dots \quad (12)$$

В итоге передаваемая энергия выражается через  $\epsilon$  и  $\beta$  следующим образом:

$$\begin{aligned} dW/dt = & 8\pi q^2 \beta^3 \sqrt{\epsilon \beta^2 - 1} \left( 1 - \frac{1}{\epsilon \beta^2} \right) \times \\ & \times \left\{ \frac{\left[ \beta^2 (\epsilon - 1) - 1 + 1/\epsilon^2 \right] \epsilon}{8(1 + \eta_0^2) \sqrt{\beta^2 (\epsilon - 1) - 1}} - \frac{1/\beta^2 - 1/2}{2\eta_0(1 + \eta_0^2)} \right\}. \end{aligned} \quad (13)$$

Численные оценки в (13) при  $\beta = 0,99$  показывают, что при  $\epsilon > 2$  потери растут линейно с ростом  $\epsilon$ .

**4. Заключение.** Отметим ряд экспериментальных работ, не вошедших в указанные выше обзоры.

В [19] представлены результаты теоретических и экспериментальных исследований генерации широкополосного направленного электромагнитного излучения ССИ, возникающего при наклонном падении фронта импульсного рентгеновского излучения на фотокатод плоского диода. Результаты численного моделирования, сопоставлены с экспериментальными данными, полученными с использованием установки «Искра-5» для создания лазерной плазмы в качестве источника рентгеновского излучения.

Было показано, что модель ССИ адекватно описывает полученные в эксперименте данные, излучение имеет направленный характер и малую длительность.

Аналогичные эксперименты проводились другими авторами [20; 21]. Ожидается, что в результате исследований будут сформированы требования, необходимые для создания лабораторного, а затем и компактного промышленного образца принципиально нового, сверхширокополосного, источника ЭМИ, который может найти применение в навигационной технике, в диагностике онкозаболеваний, в обработке металлов и покрытий, при создании приборов микроволновой электроники с длиной волны менее 1 см.

### **Список литературы**

1. Гинзбург В.Л. Об эффекте Вавилова–Черенкова и аномальном эффекте Доплера в среде, в которой фазовая скорость волн больше скорости света в вакууме // ЖЭТФ. 1972. 62(1). С. 176.
2. Болотовский Б.М., Гинзбург В.Л. Эффект Вавилова–Черенкова и эффект Доплера при движении источников со скоростью больше скорости света в вакууме // УФН. 1972. 106(4). С. 577.
3. Гинзбург В.Л. Теоретическая физика и астрофизика. М.: Наука, 1981.
4. Болотовский Б.М., Серов А.В. Излучение сверхсветовых источников в вакууме // УФН. 2005. 175(9).
5. Болотовский Б.М. Серов Л.В. Переход излучения от протяженной системы зарядов // ЖТФ. 2002. 72(1). С. 3.
6. Болотовский Б.М., Быков В.П. Изв. вузов. Сер."Радиофизика". Т.32. 1989. С. 386.
7. Афанасьев С.В., Мануйлов В.В. Микроскопические расчеты легких ядер // КГУ. Калинин. 1981.
8. Гинзбург В.Л., Цытович В.Н. Переходное излучение и переходное рассеяние // М.:Наука, 1984.
9. Афанасьев С.В. Излучение сфазированного потока заряженных частиц в нестационарной среде // Вестник ТвГУ. Серия: Физика. 2007. №6 (34).
10. Зрелов В.И. Излучение Вавилова–Черенкова и его применение в физике высоких энергий // 1968. Т 1,2. М.: Атомиздат.
11. Манева Г.М. Изв.вузов. Сер. «Радиофизика». 1976. Т 19, №7.
12. Эйдман В.Я. Астрофизика. Изв.вузов. Сер. «Радиофизика». 1972. Т 15, №4, С 634.

13. Афанасьев С.В. Изв.вузов Сер. «Радиофизика». 1976. Т 19, №10, С 1523.
14. Иваненко Д.Д., Соколов А.А. Классическая теория поля. М.: Гостехиздат, 1949.
15. Мириманов Р.Г. Миллиметровые и субмиллиметровые волны. М.: ИЛ, 1959.
16. Афанасьев С.В. Изв. вузов. Сер. «Радиофизика». 1974. Т17, №7. С. 1069.
17. Маркузе Д. Оптические волноводы. М.: Мир, 1974.
18. Афанасьев С.В. Изв. вузов. Сер. «Радиофизика». 1988. Т 31, №4. С. 376.
19. Лазарев Ю.Н., Петров П.В., Сырцова Ю.Г. Фотоэмиссионный импульсный источник широкополосного направленного электромагнитного излучения // ЖТФ. 2004. Т. 74, вып. 11. С.83.
20. Бессараб А.В. Труды РФЯЦ-ВНИИФ. Саров. 2001. №1. С. 518.
21. Политов В.Ю., Шушлебин А.Н. Забабахинские научные чтения. Снежинск: РФЯЦ-ВНИИФ, 2003.

*Об авторе:*

АФАНАСЬЕВ Сергей Викторович – кандидат физ.-мат наук, доцент кафедры общей физики ТвГУ